

信道编码大作业实验报告

夏智康 刘祥 芦迪 吴舒登

清华大学深圳国际研究生院信息科学与技术学部，深计研 19 班

日期：June 6, 2020

1 分工情况

芦迪和吴舒登主要负责：

1. 构造射影平面循环 LDPC 码。其中，吴舒登主要负责 PG-LDPC 码的编码工作，芦迪主要负责编写射影平面循环 LDPC 码的实验笔记并完成一部分编码工作；
2. 实现迭代算法，可视化并比较三种编码的分组译码错误概率和比特译码错误概率。芦迪主要负责编码实现迭代算法并可视化实验结果，吴舒登主要负责编写此部分的实验报告并总结实验结果。

2 构造射影平面循环 LDPC 码

基于射影平面构造的循环 LDPC 码其实就是利用射影平面的点线关联矩阵。考虑在有限域 $GF(2^s)$ 上的 m 维射影平面 $PG(m, 2^s)$ 。这个平面包含有 n 个点，其中 $n = (2^{(m+1)s} - 1)/(2^s - 1)$ 。在 $PG(m, 2^s)$ 中有 $J = ((2^{ms} + \dots + 2^s + 1)(2^{(m-1)s} + \dots + 2^s + 1))/(2^s + 1)$ 条直线，每条直线上包含有 $2^s + 1$ 个点，每个点上又有 $(2^{ms} - 1)/(2^s - 1)$ 条线交叉。伽罗华域 $GF(2^{(m+1)s})$ 是有限域 $GF(2^s)$ 的扩展，且可以看做是射影平面 $PG(m, 2^s)$ 的一个实现。令 α 为 $GF(2^{(m+1)s})$ 的本原元，则 $GF(2^{(m+1)s})$ 中的非零元素 $\alpha^0, \alpha^1, \dots, \alpha^{n-1}$ 组成了射影平面 $PG(m, 2^s)$ 中的点。设 α^i, α^j 是射影平面 $PG(m, 2^s)$ 中的两个线性独立的点，那么下面点的集合 $\{\alpha^i + \beta\alpha^j : \beta \in GF(2^s)\}$ 就是 $PG(m, 2^s)$ 里通过点 α^i 的一条线。两条线没有交点就是平行的，如果有交点也只能有一个交点。

令 $PG(m, 2^s)$ 中直线的关联矢量作为矩阵 $\mathbf{H}_{PG}^{(1)}(m, 0, s)$ 的行，射影平面 $PG(m, 2^s)$ 中的点对应于 $\mathbf{H}_{PG}^{(1)}(m, 0, s)$ 的列。 $\mathbf{H}_{PG}^{(1)}(m, 0, s)$ 行重为 $\rho = 2^s + 1$ ，列重为 $\gamma = (2^{ms} - 1)/(2^s - 1)$ ，密度为 $r = (2^{2s} - 1)/(2^{(m+1)s} - 1)$ 。对 $m \geq 2, s \geq 2$ ， r 非常小，因此 $\mathbf{H}_{PG}^{(1)}(m, 0, s)$ 是一个低密度矩阵。它的零空间给出了一个长度为 n 的 LDPC 码 $\mathbf{C}_{PG}^{(1)}(m, 0, s)$ ，其最小距离至少为 $(2^{ms} - 1)/(2^s - 1) + 1$ 。校验位长度为 $n - k = 1 + (C_{m+1}^m)^s$ 。

实验要求构造 $q = 32, n = q^2 + q + 1 = 1057$ 的 PG-LDPC 码。构造过程如下：

- 1) 由 $q = 2^s, n = (2^{(m+1)s} - 1)/(2^s - 1)$ 得 $m = 2, s = 5$ ，即要考虑有限域 $GF(2^5)$ 上的 2 维射影平面 $PG(2, 2^5)$ 。 $PG(2, 2^5)$ 中的点是用 $GF(2^{(m+1)s}) = GF(2^{15})$ 中的元素表示的，可以先构造伽罗华域 $GF(2^{15})$ 。 $GF(2^{15})$ 是由本原多项式 $p(x) = x^{15} + x^{14} + x^{13} + x^{12} + x^{11} + x^5 + x^4 + x^3 + x^2 + x^1 + 1$ 生成的。由此，我们可以得到 $GF(2^{15})$ 。

- 2) 令 α 为 $GF(2^{15})$ 的一个本原元。令 $\beta = \alpha^n$ ，则 β 的阶为 $2^s - 1$ ， $\{0, 1, \beta, \beta^2, \dots, \beta^{2^s-2}\}$ 可以构成 $GF(2^5)$ 。令 $\Gamma = \{\alpha^0, \alpha^1, \alpha^2, \dots, \alpha^{n-1}\}$ ，则 $\{\alpha^i, \beta\alpha^i, \beta^2\alpha^i, \dots, \beta^{2^s-2}\alpha^i\}$ 可将 $GF(2^{15})$ 划分为 n 个不相交的子集。
- 3) 需要求出经过某一点的任意一条不过原点的直线上的所有其他点。取 $PG(2, 2^5)$ 中的任意不同的两个点 α^i, α^j ，则通过这两个点的直线由 $\{\eta_1\alpha^i + \eta_2\alpha^j\}$ 这样形式的点组成，且有 $2^s + 1$ 即 33 个不同的点，只需选择 η_1 与 η_2 ，使得 (η_1, η_2) 不是另一个选择 (η'_1, η'_2) 的倍数即可。简单起见，我们取 $i = 0, j = 1$ ，那么 $\alpha^i = 1, \alpha^j = \alpha$ 。最终得到含有 33 个点的一条直线。
- 4) 得到直线后，由该直线求其关联矢量。该矢量由 $n = 1057$ 个点组成。如果某点在直线上，则关联矢量该点处值为 1，否则为 0。由所得的关联矢量作为校验矩阵的第一行，对该矢量向右循环移位 1056 次，每次得到的矢量均作为校验矩阵的一行。校验位数目为 $1 + (C_3^2)^5 = 244$ ，因此信息位的数目位 813。校验矩阵的大小为 244×1057 ，这样就得到了长为 1057，信息位为 813 的二维射影平面 LDPC 码的校验矩阵。

3 构造基于广义 B-J 码的准循环 LDPC 码

令 $GF(q)$ 表示一个具有 $q = 2^m$ 离散元素的伽罗华域。令 $[n, k, d]$ 表示一个码长为 n ，维度为 k ，最小距离为 d 的 q 元线性码。Berlekamp-Justesen(B-J) 码是一类长度为 $q + 1$ 的 MDS 码 $[q + 1, k, q - k + 2]$ 。为了得到围长尽可能大的 B-J 码，我们仅考虑 $q = 2^m, k = 2$ 时的情形。可以看出 q 元 $[q + 1, 2, q]$ B-J 码是 q 元 Hamming 码 $[\frac{q^r-1}{q-1}, \frac{q^r-1}{q-1} - r, 3]$ 的对偶码，因此 B-J 码的生成矩阵就是对应 Hamming 码的校验矩阵。易知 q 元 Hamming 码 $[\frac{q^r-1}{q-1}, \frac{q^r-1}{q-1} - r, 3]$ 的校验矩阵，并将其化为循环形式，就能够得到 B-J 码的生成矩阵。当 $q = 32$ 时，可得 q 元 $[33, 2, 32]$ B-J 码的生成矩阵为：第一行： $[1, 1, 2, 3, 4, 5, 6, 7, 8, 9, 10, 11, 12, 13, 14, 15, 16, 17, 18, 19, 20, 21, 22, 23, 24, 25, 26, 27, 28, 29, 30, 31, 0]$ 第二行： $[0, 1, 1, 2, 3, 4, 5, 6, 7, 8, 9, 10, 11, 12, 13, 14, 15, 16, 17, 18, 19, 20, 21, 22, 23, 24, 25, 26, 27, 28, 29, 30, 31]$ 生成多项式为：

$$g = (1, 1, 2, 3, 4, 5, 6, 7, 8, 9, 10, 11, 12, 13, 14, 15, 16, 17, 18, 19, 20, 21, 22, 23, 24, 25, 26, 27, 28, 29, 30, 31)$$

我们所要构造的基于广义 B-J 码的准循环 LDPC 码 $q = 32, n = q^2 - 1 = 1023$ 。因为码长为 $1023 = 33 \times 31$ ，所以采用基于 B-J 码的第二类置换，即 $(q - 1)$ 元组置换。

设 $C_{B/2}^*$ 为 $C_{B/2}$ 的非 0 码字集合，由 $C_{B/2}$ 的循环特性易知， $C_{B/2}^*$ 可有如下表示：

$$C_{B/2}^* = \{\lambda g(x)x^i : \lambda \neq 0 \in GF(q), i = 1, \dots, q + 1\} \quad (1)$$

令

$$C_i^{(2)} = \{\lambda g(x)x^i : \lambda \neq 0 \in GF(q)\}, \quad i = 1, 2, \dots, q + 1 \quad (2)$$

易得 $|C_i^{(2)}| = q - 1$ ，并且所有的 $C_i^{(2)} (i = 1, 2, \dots, q + 1)$ 构成了 $C_{B/2}^*$ 的一个划分。

令矩阵 C 的行向量为 $C_{B/2}^*$ 中的一个码字，同时矩阵 C 中包含 $C_{B/2}^*$ 中的所有码字，易知 C 为 1023×33 矩阵。因为 q 元 $[33, 2, 32]$ B-J 码是线性等重和等距码，因此所有的非零码字都有着相同的重量 32，任意两码字之间的距离也是 32，即任意两码字之间至多只有一个分量相同。所以矩阵 C 中任意两行间只有一个分量相同。对矩阵 C 中的元素进行 $(q - 1)$ 元组替换，即对于 $GF(q)$ 中的非 0 元素 $\alpha^j (j = 0, 1, \dots, q - 2)$ ，定义一个二元 $(q - 1)$ 长向量 $\mathbf{y}(\alpha^j) = (y_0, y_1, \dots, y_{q-2})$ 与 α^j 一一对应，其中 $y_j = 1$ ，其他分量为 0。而对于 $GF(q)$ 中的 0 元素则用全 0 的 $(q - 1)$ 长向

量与其对应。由此得到的矩阵 H 为 1023×1023 二元矩阵，而且矩阵 H 的任意两行之间只有一个对应位置的分量为 1，即 H 的围长大于 4。

我们选取 $C_{B/2}^*$ 的前 6 个划分的码字，进行 $(q-1)$ 元组替换得到 186×1023 的校验矩阵，对应的 LDPC 码为 $[1023, 837]$ 。

4 构造基于循环置换矩阵的 Array LDPC

基于循环置换矩阵的 Array LDPC 码是一种结构化的 LDPC 码构造方法，其构造过程主要由三个参数控制 p, j, k ，其中 p 为质数。在这种构造方法下，校验矩阵为

$$H = \begin{bmatrix} I & I & I & \cdots & I \\ I & \alpha & \alpha^2 & \cdots & \alpha^{k-1} \\ I & \alpha^2 & \alpha^4 & \cdots & \alpha^{2(k-1)} \\ \vdots & \vdots & \vdots & \ddots & \vdots \\ I & \alpha^{j-1} & \alpha^{2(j-1)} & \cdots & \alpha^{(j-1)(k-1)} \end{bmatrix}$$

其中 I 是 $p \times p$ 的单位矩阵， α 是大小为 $p \times p$ 的左移或右移一位的置换矩阵。例如，当 $p = 5$ 时

$$\alpha = \begin{bmatrix} 0 & 1 & 0 & 0 & 0 \\ 0 & 0 & 1 & 0 & 0 \\ 0 & 0 & 0 & 1 & 0 \\ 0 & 0 & 0 & 0 & 1 \\ 1 & 0 & 0 & 0 & 0 \end{bmatrix} \quad \text{或} \quad \alpha = \begin{bmatrix} 0 & 0 & 0 & 0 & 1 \\ 1 & 0 & 0 & 0 & 0 \\ 0 & 1 & 0 & 0 & 0 \\ 0 & 0 & 1 & 0 & 0 \\ 0 & 0 & 0 & 1 & 0 \end{bmatrix} \quad (3)$$

对于题目的要求可取 $p = 31, k = 33, j = 5$ ，于是信息字长为 $k = p \cdot k - p \cdot j = 868$ ，码长为 $n = p \cdot k = 1023$ ，码率为 $k/n = 0.8485$ 。

5 译码错误概率分析

使用 MATLAB 编写了相关程序，实现了前述三种 LDPC 码的构造，见 `./code` 文件夹内的 `generate_PG.m`、`generate_BJ.m`、`generate_Array.m`。其中生成 PG-LDPC 码的校验矩阵时，需要先运行 `./code/pg_ldpc.m` 生成中间变量 `GF` 与 `points`，并将这两个变量作为参数输入 `generate_PG` 函数。我们在不同的信噪比下，当检测到 10 个错误分组，分别计算分组译码错误概率和比特译码错误概率。将分组错误数目除以发送的分组总数目得到分组译码错误概率，使用 matlab 中的 ‘berconfint’ 函数计算比特译码错误概率。使用 MATLAB 的通信工具箱对前面构造的三种 LDPC 码进行了编解码实验（见 `./code/get_BER.m`），并绘制了对应的分组译码错误概率与比特译码错误概率曲线（见 `./code/main.m`）。

图 1、图 2 为 PG-LDPC 码的分组译码错误概率与比特译码错误概率曲线。在信噪比小于 3 dB 时，比特错误译码概率较大，大致在 (0.01, 0.1) 区间；当信噪比超过 3 dB 时，比特译码错误概率呈指数级下降趋势。当信噪比小于 3 dB 时，分组错误译码概率接近 1；同样地，当信噪比超过 3 dB 时，分组译码错误概率呈指数级下降趋势。

图 3、图 4 为 BJ-LDPC 码的分组译码错误概率与比特译码错误概率曲线。图 5、图 6 为 ARRAY-LDPC 码的分组译码错误概率与比特译码错误概率曲线。BJ-LDPC 与 ARRAY-LDPC 的比特译码错误概率和分组译码错误概率的变换趋势与 PG-LDPC 的变化趋势基本一致。相比而言，当信噪比逐渐变大，PG-LDPC 的分组译码效果更好，在信噪比为 3.8 dB 时，其错误概率可以低至 10^{-3} ，而其余两种编码错误概率大于 10^{-2} 。在比特译码方面，也是 PG-LDPC 效果更好，在信噪比达到 3.8 dB 时，它的错误概率低于 10^{-5} ，其余两种编码的错误概率在 10^{-3} 左右。

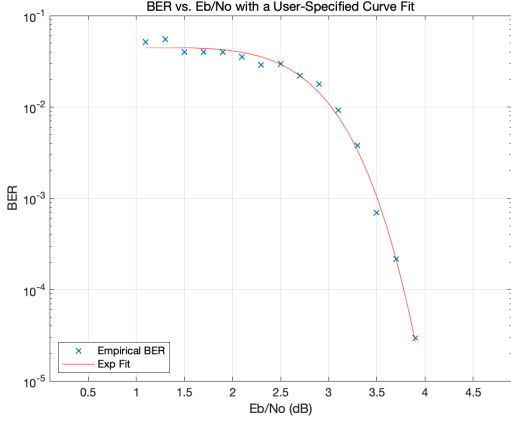


图 1: PG-LDPC Bit Error Rate vs. Eb/No

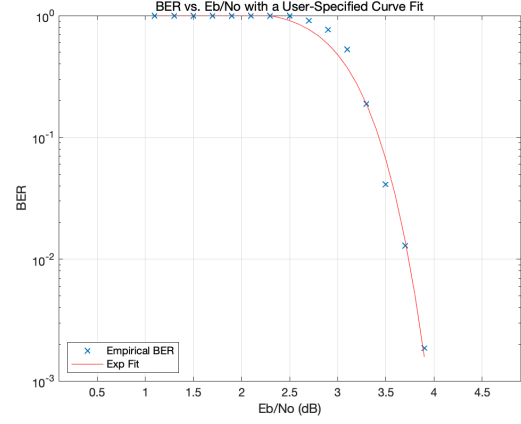


图 2: PG-LDPC Block Error Rate vs. Eb/No

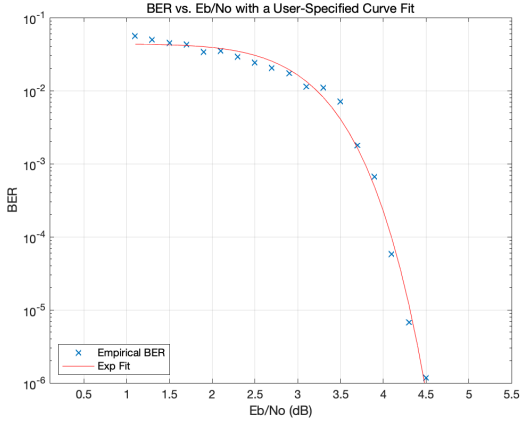


图 3: BJ-LDPC Bit Error Rate vs. Eb/No

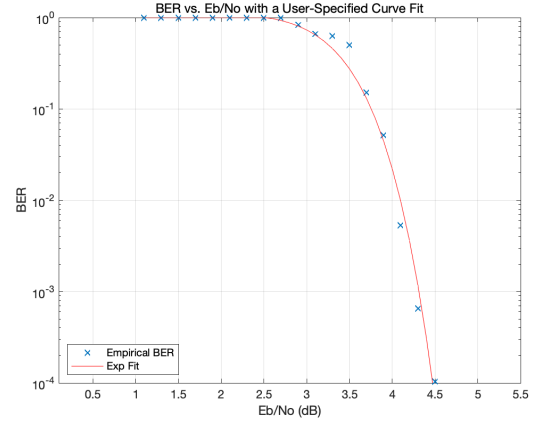


图 4: BJ-LDPC Block Error Rate vs. Eb/No

6 总结

我们的实验主要分成四个部分。在前三部分，我们使用 matlab 分别构造投影平面循环 LDPC 码，基于广义 B-J 码的准循环码和基于循环置换矩阵的 Array LDPC 码。第四部分我们实现迭代译码算法，可视化并比较三种编码的分组译码错误概率和比特译码错误概率。通过比较，我们发现比特译码错误概率一致地低于分组译码错误概率；PG-LDPC 码在比特译码错误概率和分组译码错误概率上都表现更优越。

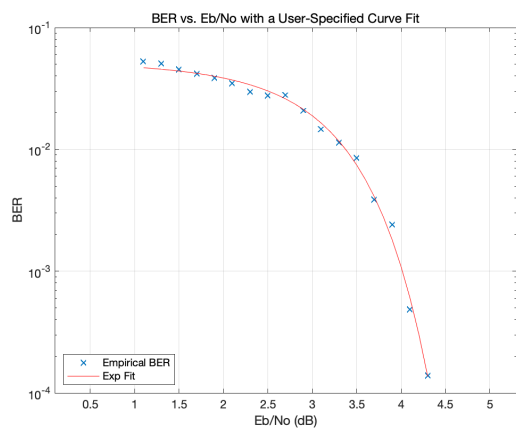


图 5: Array-LDPC Bit Error Rate vs. Eb/No

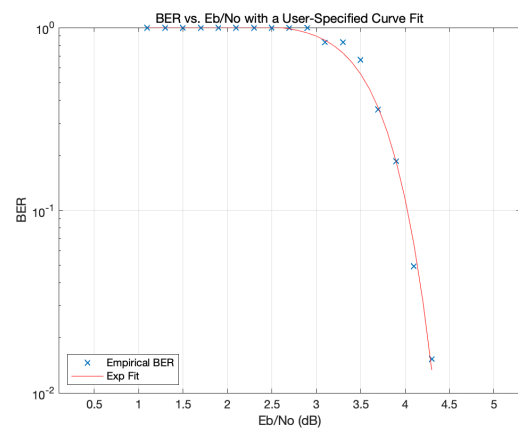


图 6: Array-LDPC Block Error Rate vs. Eb/No